

دوفصلنامه علمی-پژوهشی هیدروفیزیک

دوره سوم، شماره دوم (پاییز و زمستان ۱۳۹۶)

استخراج شوری سطحی آب دهانه رودخانه ارونده با استفاده از تصاویر ماهواره و روش‌های آماری

عباس عینلی^{۱*}، مسعود صدری نسب^۲ و محمد اکبری نسب^۳

^۱* نویسنده مسئول، دانشجوی دکتری فیزیک دریا، دانشکده علوم دریایی و اقیانوسی، دانشگاه علوم و فنون دریایی خرمشهر، خرمشهر
abbaseinaly@yahoo.com

^۲ دانشیار، دانشکده محیط زیست، دانشگاه تهران، تهران
masoud.sadri@ut.ac.ir

^۳ استادیار، گروه فیزیک دریا، دانشکده علوم دریایی، دانشگاه مازندران، بابلسر
m.akbarinasab@umz.ac.ir

تاریخ دریافت:

۹۷/۳/۲۷

چکیده

شوری آب برای رصد تغییرات در محیط دریا اهمیت بسیار زیادی دارد. اخیراً سنجش از دور که جزء کم‌هزینه‌ترین و سریع‌ترین روش‌های مانیتورینگ و ارزیابی محیط طبیعی است، برای بررسی شوری سطحی در آب‌های ساحلی استفاده می‌شود. در یکی از این روش‌ها که اساس این تحقیق بر آن استوار است، با تعیین رابطه شوری سطحی و رفلکتنس سطحی تصویر ماهواره با روش‌های آماری در هر منطقه، به استخراج شوری سطحی آب دریا پرداخته می‌شود. در شمال غرب خلیج فارس به دلیل ورود آب رودخانه ارونده که اصلی‌ترین منبع آب شیرین برای خلیج فارس است، گرادیان شوری قابل ملاحظه‌ای وجود دارد که امکان استفاده از این روش را بالا می‌برد. در این تحقیق رابطه خطی داده‌های میدانی شوری سطحی حاصل از گشت را پیمی در سال ۱۹۹۲ و بازتابندگی سطحی باند‌های ماهواره لندست TM5 با استفاده از مدل رگرسیونی استخراج شد. این مدل نشان داد که باند‌های ۲ و ۳ ماهواره لندست ارتباط خطی با شوری سطحی آب دارند. در نهایت، با اعمال رابطه به دست آمده بین داده‌های میدانی شوری سطحی و بازتابندگی سطحی به تمام پیکسل‌های تصویر لندست، الگوی شوری سطحی دهانه رودخانه ارونده در بهار سال ۱۹۹۲ آشکار شد. این تحقیق که با استفاده از کمترین داده‌های میدانی (با توجه به عدم وجود داده در این منطقه) انجام شد؛ نشان داد که می‌توان با انجام حداقل اندازه‌گیری‌های میدانی در این منطقه خاص به درک خوبی از شرایط فیزیکی آن با استفاده از فناوری سنجش از دور دست یافت و به این ترتیب فقدان داده‌های میدانی را جبران نمود.

واژگان کلیدی: شوری سطحی، لندست، اروندرود

سطحی ارتباط دارند، روش‌هایی برای سنجش شوری سطحی آب دریا در روش مستقیم با استفاده از هوایپما ارائه شد. این موضوع از آنجا اهمیت دارد که اندازه‌گیری‌های میدانی از شوری سطحی آب اقیانوس‌ها بسیار اندک است (با رزولوشن مکانی یک درجه در یک درجه) است و با استفاده از هوایپما هم نمی‌توان تمام اقیانوس‌ها را مورد سنجش قرار داد. از طرفی بسیاری از پارامترهای هواشناسی مانند دمای آب و سرعت باد با ماهواره قابل اندازه‌گیری است. با این استدلال، چالش آینده فناوری سنجش از دور را اندازه‌گیری شوری سطحی آب اقیانوس‌ها معرفی شد [۴].

مطالعه خلیج چساپیک به روش اندازه‌گیری مستقیم با استفاده از هوایپما، نمونه‌ای از یک تحقیق موفق در چند سال اخیر در این زمینه است [۵].

برای سنجش شوری در این روش، از امواج کوتاه استفاده می‌شود. در این محدوده، باندی به مرکزیت $1,413\text{ GHz}$ به دلیل مصون ماندن از تداخل امواج رادیویی مورداستفاده در تحقیقات نجومی، استفاده می‌شود. رابطه تقریباً خطی Tb و SSS^4 در SST^4 مشخص، در شکل (۱) ارائه شده است. بیشترین نسبت سیگنال Tb بر SSS – که سبب افزایش دقت سنجش شوری سطحی می‌شود – در عرض‌های جغرافیایی ۴° گرم پیدا می‌شود. باید توجه داشت که Tb تنها در حدود ۰% در آب‌های آزاد تغییر می‌کند و پرتوسنج‌ها باید دقیق فوق العاده برای دریافت سیگنال از سطح اقیانوس‌ها داشته باشند [۱]. در روش مستقیم سنجش شوری از راه دور، در تحقیقات علمی طی دهه‌ها از اسکنرهای پرتوسنجی میکروویو در فرکانس پایین (Slfmr⁵) که روی هوایپما نصب شده‌اند، در تهیه نقشه شوری خلیج‌ها، خورها، رودخانه‌ها و آب‌های ساحلی استفاده شد. این اسکنر، پلوم سواحل مانند خلیج چساپیک را با استفاده از نقشه شوری که مرز بین آب‌های شور و شیرین را مشخص می‌کند، نشان می‌دهد. الگوی شوری در خلیج فلوریدا نیز با استفاده از اسکنر در پروژه‌ای برای ارزیابی حساسیت اکوسیستم منطقه اندازه‌گیری شد. با این حال به دلیل هزینه زیاد در جمع آوری اطلاعات طولانی مدت با استفاده از فناوری اسکنرهای

۱. مقدمه

سنجش شوری سطحی آب از راه دور به سه روش اندازه‌گیری مستقیم با استفاده از تصاویر ماهواره، اندازه‌گیری مستقیم با هوایپما و اندازه‌گیری غیرمستقیم با استفاده از تصاویر ماهواره انجام می‌شود. روش اندازه‌گیری مستقیم با تصاویر ماهواره دارای رزولوشن زمانی و مکانی بزرگی است و برای اقیانوس‌های آزاد مناسب است، درنتیجه برای دریاها و خلیج‌های کوچک مانند آب‌های ساحلی کشور قابل استفاده نیست. روش اندازه‌گیری با هوایپما نیز روشی پرهزینه است؛ بنابراین در این تحقیق از روش دوم یعنی اندازه‌گیری غیرمستقیم با استفاده از تصاویر ماهواره استفاده شده است، زیرا در این روش از تصاویر رایگان ماهواره‌های لندست و مادیس که رزولوشن زمانی و مکانی بسیار بهتری نسبت به دیگر ماهواره‌ها دارند، می‌توان استفاده کرد.

اساس فیزیکی سنجش شوری سطحی آب دریا از راه دور که در روش اندازه‌گیری مستقیم با تصاویر ماهواره و هوایپما استفاده می‌شود، استفاده از دمای روشنایی^۱ (Tb) امواج کوتاه است. دمای روشنایی متناسب با شوری و چند عامل دیگر است که البته به تصحیح نیاز دارند [۱]. در این زمینه محققان مطالعه‌های متعددی انجام داده‌اند. برای تعیین ثابت دی-الکتریک آب دریا بر اساس دما و شوری آب در یک فرکانس مشخص مدلی ارائه شد که نشان داد در یک فرکانس مشخص، ثابت دی-الکتریک با افزایش شوری کاهش می‌یابد. این یافته‌ها از نخستین گام‌های سنجش مستقیم شوری سطحی با استفاده از هوایپماست [۲]. دمای روشنایی با دمای سطحی آب متناسب بوده و ضرب این تناسب توان گسیلش^۲ است که خود تابعی از دما و شوری سطحی آب است. نشان داده شد که در رنج دمایی آب دریاهای ۰° تا ۳۲ درجه سانتی‌گراد) حساسیت توان گسیلش به شوری سطحی با کاهش فرکانس افزایش می‌یابد و فرکانسی بین ۸۰۰ تا ۱,۵ گیگاهرتز بهترین گرینه برای اندازه‌گیری شوری سطحی است [۳].

با توجه به اینکه چرخه‌های آب و هوایی مانند الینیو و چرخش‌های ترمومهالائینی اقیانوس‌ها با الگوی تغییرات شوری

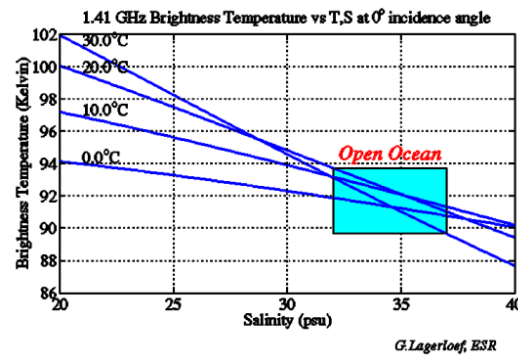
شوری در آن محیط وجود داشته باشد. به این حالت اختلاط پایا^{۱۰} گفته می‌شود. از آنجاکه می‌توان CDOM را از راه دور اندازه‌گیری کرد، بنابراین می‌توان مقادیر شوری را نیز از مشاهده‌های سنجش از دور محاسبه کرد. توجه به این نکه حائز اهمیت است که این روش فقط در سیستم‌هایی که در آن‌ها اختلاط آب رودخانه و آب‌های ساحلی دریا پایاست، قابل اجرا است. اگرچه پدیده‌های لخته شدن^{۱۱} و تغییر حالت بر اثر نور^{۱۲} می‌تواند این فرض را بی‌اعتبار کند اما مطالعات قبلی که بلاف (۱۹۹۳) و دل کاستیلو (۱۹۹۹) انجام دادند، نشان می‌دهد این پدیده‌ها تأثیری بر غلظت CDOM ندارد. [۷] به طور کلی به دلیل آنکه شوری سطحی تابعی از غلظت CDOM است، بنابراین تابعی از میزان بازتابندگی نور که پارامتر مهمی در سنجش از دور است - نیز هست. با این‌همه می‌توان در این فرض که شوری سطحی مستقیماً به عنوان تابعی از بازتابش باندهای رنگی ماهواره‌ها از سطح اقیانوس‌هاست، اطمینان داشت [۹].

دبی رودخانه سبب تغییرات گرادیان شوری در خورها شده و بر الگوی جریانات فصلی و منطقه‌ای دهانه خورها مؤثر است. تغییرات شوری نیز به تبع سبب تغییراتی در فراوانی، نوع و توزیع موجودات دریایی می‌شود. تحقیقات نشان داده است که تغییر ۰/۵ ppt شوری خلیج سان فرانسیسکو سبب کاهش تخم‌ریزی برخی گونه‌های ماهی‌ها و مهاجرت آن‌ها به بالادست رودخانه می‌شود. همچنین تغییرات شوری نه تنها بر طول عمر و توزیع ماهی‌ها در دهانه رودخانه‌ها اثرگذار است، بلکه بر رشد و توزیع فیتوپلاتکتون‌ها نیز در محیط خورها و دلتاهای مؤثر است. علاوه بر همه این‌ها، تغییرات شوری بر الگوی توزیع مواد معلق^{۱۳} نیز مؤثر است [۱۰].

رودخانه اروند از پیوستن چهار رودخانه مهم کارون، کرخه (در ایران)، دجله^{۱۴} (در ترکیه و عراق) و فرات^{۱۵} (در عراق) به یکدیگر شکل می‌گیرد؛ بنابراین حوضه آبریز این رودخانه بیشتر بین دو کشور ایران و عراق مشترک است. اروندرود اصلی‌ترین منبع آب شیرین برای خلیج فارس است و نقش زیست محیطی بسیار مهمی در مناطق ساحلی شمال غرب خلیج فارس دارد. این رودخانه بزرگ‌ترین منبع آب سطحی

پرتوسنجی میکروویو در فرکانس پایین، عملیات اندازه‌گیری درازمدت عملی نیست [۶].

در سال ۱۹۷۰ برخی از ماهواره‌ها مانند اسکای‌لب^۶ برای ارزیابی شرایط سطحی دریاها از اندازه‌گیری‌های رادیومتریک استفاده کردند. اطلاعات جمع‌آوری شده از پرتوسنج میکروویو ۱/۴ GHz با جدول‌های استاندارد شوری سطحی دریاها مقایسه و همبستگی بین اطلاعات حس‌گر و شوری سطحی مشخص شد. با پیشرفت در فناوری ماهواره سنجش شوری ادامه یافت و پس از اسکای‌لب مأموریت‌های جدید ماهواره‌ای برای ارزیابی شوری سطحی مانند آکواریز^۷ در ژوئن ۲۰۱۱ انجام شد. آکوارایز یک پرتوسنج طراحی شده از سوی ناسا است که برای تهیه نقشه جامع شوری از اقیانوس‌ها به صورت ماهانه مورد استفاده قرار می‌گیرد. از آنجاکه رزولوشن فضائی این سنجنده بین ۱۵۶ تا ۷۶ کیلومتر است، بنابراین هدف اصلی آن ارزیابی شوری سطحی در دریاهای آزاد است [۶].



شکل ۱. مدل Tb و SSS در دمای‌های سطحی متفاوت آب دریا، قسمت سایه خورده محدوده اقیانوس‌های آزاد را نشان می‌دهد.

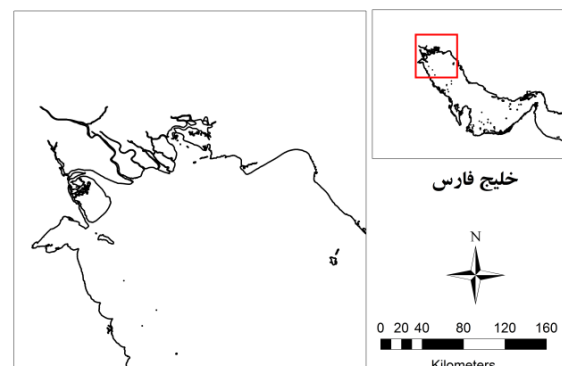
در روش اندازه‌گیری غیرمستقیم شوری سطحی آب با استفاده از تصاویر ماهواره، غلظت CDOM^۸ در آب نقش اساسی ایفا می‌کند. رابطه‌ی تجربی بین CDOM و شوری از این نظر که CDOM عملگری یا تابعی میانی بین میزان بازتابندگی^۹ اندازه‌گیری شده با ماهواره و شوری سطحی است، اهمیت فراوان دارد. این رابطه بر این فرض است که آب رودخانه که شیرین و بدون CDOM بوده با آب شور دریا که دارای غلظتی از CDOM است، طوری با هم آمیخته می‌شوند که همواره رابطه‌ای خطی و معکوس بین CDOM و

ماهواره‌های لندست نخستین بار در سال ۱۹۷۲ با لندست ۱ آغاز به کار کرد. ماهواره‌های لندست برای ۴۰ سال اطلاعات علمی و مدارومی را که باعث افزایش دانش انسان از چرخه آب، آب و هوای اکوسیستم، تغییرات زمین و غیره می‌شود را در اختیار قرار می‌دهد. لندست تی‌ام ۵ دارای ۷ باند است. باند ۱ تا ۳ در محدوده طیف مرئی، ۴ و ۵ در محدوده مادون‌قرمز نزدیک، باند ۶ که باندی حرارتی بوده و باند ۷ که در محدوده مادون‌قرمز میانی است [۶].

باند ۱ (آبی: ۴۵۰ تا ۵۲۰ نانومتر) که در تحلیل کیفیت آب به دلیل نفوذ بیشتر در ستون آب اهمیت ویژه‌ای دارد. باند ۲ (سبز: ۵۲۰ تا ۶۰۰ نانومتر) که از سوی گیاهان سبز، بازتابیده می‌شود. باند ۳ (قرمز: ۶۳۰ تا ۶۹۰ نانومتر) که برای گیاهان سبز، یک باند جذبی به شمار آمده و برای تشخیص مرز مناطق پوشیده از گیاه مفید است. باند ۴ (مادون‌قرمز نزدیک: ۷۶۰ تا ۹۰۰ نانومتر) که برای تشخیص کتراستهای بین خشکی و آب استفاده می‌شود. باند ۵ (مادون‌قرمز میانی: ۱۵۵۰ تا ۱۷۵۰ نانومتر) که برای بررسی میزان آب در گیاهان و متفاوت‌سازی یا تشخیص ابرها، برف و یخ مورد استفاده قرار می‌گیرد. باند ۶ (مادون‌قرمز گرمایی: ۱۰۴۰۰ تا ۱۲۵۰۰ نانومتر) که انرژی مادون‌قرمز گسیل شده از سطح زمین (دما) را اندازه می‌گیرد. باند ۶ همچنین رزلولوشن فضائی بیشتری (۱۲۰ متر) نسبت به دیگر باندهای لندست یعنی باندهای ۱ تا ۵ و باند ۷ که رزلولوشن ۳۰ متری دارند. باند ۷ (مادون‌قرمز میانی: ۲۰۸۰ تا ۲۳۵۰ نانومتر) که برای تقسیم‌بندی جنس و رطوبت خاک استفاده می‌شود. ترکیبات متفاوتی از باندها اغلب برای کسب اطلاعات درباره اکوسیستم‌های متفاوت مورد استفاده قرار می‌گیرد. باندهای ۱ تا ۴ به دلیل عبور نور از آب در این محدوده طیفی اطلاعات مفیدی درباره کیفیت آب استخراج می‌کنند. باند ۵ و ۷ برای مناطق مردابی بیشتر استفاده می‌شوند زیرا این باندها به محتوای رطوبت گیاهان و خاک حساس هستند. با این حال الگوی ترکیب باندها مخصوص هر منطقه است و از محیطی به محیط دیگر متفاوت است [۶].

در این منطقه است که حوضه آبریز آن با بیش از ۹۰۰۰۰ کیلومترمربع، از کوههای زاگرس در ایران و کوههای تاروس^{۱۶} در ترکیه تا سرزمین‌های پست باتلاقی نزدیک خلیج فارس را شامل می‌شود. حوضه این رودخانه سکونت‌گاه حدود ۵۴ میلیون نفر در ایران، عراق، سوریه و ترکیه است. اروندرود با نزدیک شدن به خلیج فارس عریض‌تر می‌شود به طوری که عرض آن از ۷۰۰ متر در نزدیکی خرمشهر به حدود ۸۰۰ متر در دهانه رودخانه افزایش می‌یابد. در تقسیم‌بندی دلتای رودخانه‌ها، از دلتای رودخانه اروندر با عنوان دلتای خور^{۱۷} (دلتایی که به علت پرشدن خور با آب رودخانه تشکیل می‌شود) یاد می‌شود زیرا رسوب‌های این رودخانه در مناطق باریک و کم عمقی از خلیج فارس تنشین می‌شود. دلتای این رودخانه عرضی در حدود ۱۴۰ کیلومتر دارد که به بیش از ۱۰ شاخه تقسیم می‌شود [۱۱].

خلیج فارس به عنوان یک حوضه کم عمق نیمه بسته به دلیل ذخائر فراوان نفت و گاز، تکه‌ای بسیار مهم از آب‌های اقیانوسی جهان است. خلیج فارس به واسطه تنگه هرمس که تنها ۵۶ کیلومتر عرض دارد و در باریک‌ترین قسمت خلیج است، به خلیج عمان و قسمت‌های شمال‌غربی اقیانوس هند متصل می‌شود [۱۲]. خلیج فارس ۹۹۰ کیلومتر طول بیشینه و متوسط عمق به ترتیب ۳۶ و ۱۲۰ متر و مساحت ۲۳۹۰۰۰ کیلومترمربع، به دلیل آب و هوای گرم و خشک و تبخیر بالا یکی از دریاهاش شور به شمار می‌آید [۱۳]. در شکل زیر منطقه مورد مطالعه ارائه شده است.



شکل ۲. منطقه مورد مطالعه (دهانه رودخانه اروندر) در شمال غرب خلیج فارس

$$y_{EC} = a + bx_4 + cx_6 + dx_7 \quad (1)$$

که در اینجا y_{EC} شوری در واحد ppt است و x_4 , x_6 و x_7 مقدار رادیانس به ترتیب در باندهای ۴، ۶ و ۷ است. همچنین ضرایب به صورت زیر است:

$$\text{and } d = 8.981, a = 56.96, b = -1.228, c = -3.004$$

این تحقیق نخستین تلاش در استفاده موفق از شماره رقومی ماهواره لندست برای تهیه نقشه شوری با استفاده از پردازش رقومی در این منطقه بوده است [۱۰].

در تحقیقی دیگر مدل‌های برآورد شوری سطحی آب دریا با استفاده از روش سنجش از دور در خلیج آب‌سفید مقایسه شدند. در این تحقیق داده‌های میدانی شوری آب خلیج آب‌سفید از داده‌های سازمان تحقیقات زمین‌شناسی ایالات متحده از سال ۲۰۰۴ تا ۲۰۰۶ تهیه شد. داده‌های شوری سطحی با تصاویر ماهواره لندست تیام ۵ به صورت دوبعدی بررسی و مقایسه شد [۶].

بعد از اینکه داده‌های ماهواره و داده‌های زمینی جمع‌آوری شد، این اطلاعات به دو دسته در فصل تر (تابستان و پائیز) و فصل خشک (زمیستان و بهار) تقسیم شدند. شماره رقومی هر تصویر (DN) ماهواره دقیقاً در جایی که داده واقعی از شوری در آنجا وجود دارد استخراج و با هم مقایسه شدند تا ارتباط بین آن دو کشف شود. با استفاده از آنالیز رگرسیون روی باندهای لندست، بهترین باندها برای مدل تجربی انتخاب شد. شوری آب به عنوان متغیر وابسته^{۱۹} و باندهای تصویر ماهواره به عنوان متغیرهای مستقل^{۲۰} انتخاب شدند. مدل GWR پسندیده‌تر از دیگر مدل‌های رگرسیونی معرفی شد. برای این مطالعه مدل GWR به صورت زیر قابل توصیف است:

$$Y_i = B_0 + B_{1i}X_1 + B_{2i}X_2 + B_{3i}X_3 + B_{4i}X_4 + B_{5i}X_5 \quad (2)$$

که در اینجا Y شوری سطحی در موقعیت i عرض از B_0 مبدأ، B_n ضرایب باند که در موقعیت i متفاوت است و X_n اطلاعات طیفی استخراج شده از باندهای تصاویر ماهواره است [۶].

با وجود ویژگی‌های ممتاز سنجنده لندست که در پاراگراف قبل ارائه شد، اما دلایل اصلی انتخاب این سنجنده توسط بیشتر محققان، رایگان بودن تصاویر، رزولوشن مکانی خوب، رزولوشن زمانی مناسب و از همه مهم‌تر در اختیار قرار دادن تصاویر حاوی اطلاعات علمی و مدام برای حدوداً ۴۰ سال از چرخه آب، آب و هوای اکوسیستم، تغییرات زمین و غیره است. همچنین لندست اطلاعات را به صورت کالیبره و با تصحیحات رادیومتریک در اختیار محققان قرار می‌دهد. با توجه به مزیت‌های گفته شده، تصاویر لندست برای دهه‌هاست که در ارزیابی شوری رودخانه، خور، خلیج و آب‌های ساحلی مورد استفاده محققان قرار می‌گیرد [۶]. در این تحقیق نیز از تصاویر ماهواره لندست استفاده شد.

مدل‌های تجربی متعددی برای تخمین شوری سطحی آب دریا از داده‌های لندست مورد استفاده قرار گرفتند. در بیشتر این مدل‌ها با استفاده از روش‌های رگرسیونی رابطه بین داده‌های واقعی شوری و اطلاعات باندهای تصویر ماهواره تعیین می‌شود [۶]. بنابراین وجود داده‌های میدانی دقیق و کافی که گستره مکانی مناسبی نیز در محدوده مطالعه داشته باشد، از ضروریات این نوع از مطالعات است.

نخستین تلاش برای سنجش شوری سطحی آب دریا، در خلیج سانفرانسیسکو با روش غیرمستقیم انجام شد. در این مطالعه داده‌های سنجش از دور و همچنین داده‌های واقعی اندازه‌گیری شده در سپتامبر ۱۹۷۸ جمع‌آوری شد. این اطلاعات شامل شماره رقومی (DN)^{۱۸} سنجنده چند طیفی لندست (MSS) و شوری اندازه‌گیری شده با قایق بود. یک سری از مدل‌های ریاضی برای تعیین بهترین رابطه بین شوری سطحی اندازه‌گیری شده و مقادیر رادیانس برای باندهای ماهواره لندست مورد امتحان قرار گرفت. در این آزمایش‌ها، همچنین بهترین نسبت و ترکیب برای باندها نیز مورد امتحان قرار گرفت. درنهایت، بهترین مدل رگرسیون بر اساس باندهای ۴، ۶ و ۷ انتخاب شد. بر اساس تحلیل آماری برای بیان بهترین رابطه بین شوری اندازه‌گیری شده و مقدار داده‌های رادیانس لندست متناظر، مدل زیر انتخاب شد:

گیری داده‌های میدانی و ثبت تصویر ماهواره، تاریخچه این تحقیق مربوط به ده نود میلادی است.

اخيراً در اين منطقه تحقیقاتی انجام شده، اما به دليل مشکلات منطقه که قبلاً اشاره شد، بيشتر آنها به بررسی پارامترهای فیزیکی آب داخل رودخانه پرداختند و در دهانه آن (داخل دریا) اندازه گيری های میدانی مناسبی صورت نگرفته است. برای بررسی اثرات جزر و مد و برداشت بی رویه آب از رودخانه ارونده بر شوری آب رودخانه و پیش‌بینی نفوذ شوری در آب این رودخانه، در چندین ايستگاه شوری آب در داخل رودخانه ارونده اندازه گيری شد [۱۴] و [۱۵]، در حالی که در آب‌های ساحلی دهانه رودخانه هیچ اندازه گيری صورت نگرفت.

به طور خلاصه هدف این تحقیق ارائه روشی است که به واسطه آن می‌توان با استفاده از تصاویر ماهواره‌ای، یکی از ویژگی‌های آب (شوری سطحی آب) این منطقه که امکان اندازه گيری میدانی آن با توجه به شرایط منطقه وجود ندارد، را مورد ارزیابی قرار داد.

۲. مواد و روش‌ها

مدل‌های تجربی متعددی برای تخمين شوری سطحی از داده‌های لندست محاسبه شدند. در بیشتر این مدل‌ها با استفاده از روش‌های رگرسیونی رابطه بین داده‌های واقعی شوری و اطلاعات باندهای تصویر ماهواره تعیین می‌شود [۶]. بنابراین؛ وجود داده‌های میدانی دقیق و کافی که گستره مکانی مناسبی نیز در محدوده مطالعه داشته باشد، از ضروریات این نوع از مطالعات است. متأسفانه در دهانه رودخانه ارونده به دلیل ۱- عمق کم و به تبع آن عدم دسترسی کشتی‌های تحقیقاتی (کشتی‌های تحقیقاتی راپمی)؛ و ۲- تقسیم این محدوده بین سه کشور ایران، عراق و کویت و امنیتی بودن منطقه و مشکلات تردد بین آب‌های این سه کشور، اطلاعات اقیانوس‌شناسی کافی وجود ندارد. تنها مجموعه اطلاعات اقیانوس‌شناسی که گستره مکانی مناسبی داشته و نزدیک ترین ایستگاه‌های اندازه گیری به دهانه رودخانه ارونده را دارد، داده‌های مربوط به گشت اقیانوس‌شناسی راپمی در سال

منطقه شمال غرب خلیج فارس و دهانه رودخانه ارونده، در برابر خشک‌سالی و تغییرات اقلیمی بسیار آسیب‌پذیر است. در حال حاضر نیز بحران خشک‌سالی در این منطقه، مسائل و مشکلات فراوان زیست‌محیطی، اجتماعی، صنعتی، کشاورزی، اقتصادی، سیاسی و غیره را ایجاد کرده است. برداشت بی‌رویه آب از سرچشمه‌های این رودخانه نیز زمینه‌ساز بروز مسائل و اختلافات حقوقی بین کشورهای منطقه است.

همه این‌ها در حالی است که تاکنون ویژگی‌های هیدرودینامیکی و فیزیکی آب دهانه این رودخانه و دبی آن به دليل مشکلات سیاسی، جغرافیایی و امنیتی به طور علمی و دقیق اندازه گیری نشده است. درصورتی که در ک صحیح از چرخش آب در این منطقه و اتخاذ تصمیم صحیح مدیریتی در حوضه بحران‌های زیست‌محیطی، شیلاتی، آبی و غیره، بدون شناخت ویژگی‌های هیدرودینامیکی و فیزیکی آنچا عملی نیست. متأسفانه به علت نامنی‌های چند ده سال اخیر در مصب اروندرود، فعالیت‌های علمی در حوزه مهندسی سواحل و فیزیک دریا اغلب به رودخانه‌ها و حوضه‌های آبی دیگر هدایت شده‌اند و باوجود اهمیت ویژه این منطقه، سوالات بی‌پاسخ زیادی در این ناحیه باقی مانده است.

ارتباط بین توزیع مکانی شوری سطحی آب دریا در دهانه این رودخانه (که موضوع این تحقیق است) با دبی آن، یکی از مسائلی است که اهمیت این تحقیق را با توجه به عدم اطلاعات کافی از دبی این رودخانه و تغییرات آن با وجود خشک‌سالی‌های اخیر منطقه، بر جسته می‌کند. اگرچه لازمه انجام این چنین تحقیقاتی وجود اطلاعات اقیانوس‌شناسی دقیق، کافی و با گستردگی مناسب است، اما متأسفانه به دلایلی که در ادامه توضیح داده می‌شود، داده‌های میدانی کافی در این منطقه وجود ندارد.

برجسته‌ترین داده اندازه گیری شوری در نزدیکی دهانه رودخانه ارونده، داده‌های گشت راپمی در سال ۱۹۹۲ است. از طرفی لندست، تنها سنجنده دارای تصویر قابل دسترس در آن زمان بود. با توجه به این دو موضوع و لزوم هم‌زمانی اندازه-

رگرسیون و همبستگی برای مطالعه ارتباط بین دو متغیر به کار می‌رود. اصطلاح همبستگی غالب به ضریب همبستگی گشتاوری پیرسون^{۲۶} گفته می‌شود. این ضریب شاخصی است که تنها مشخص می‌کند؛ چقدر ارتباط بین دو متغیر به خط مستقیم نزدیک است؛ اما رگرسیون که رابطه نزدیکی با همبستگی دارد، زمانی به کار می‌رود که بخواهیم با تشکیل یک معادله مقادیر یک متغیر را از روی مقادیر متغیر دیگر پیش‌بینی کنیم. واژه رگرسیون غالب به رگرسیون خطی ساده اطلاق می‌شود که وجود رابطه خطی بین دو متغیر را آزمون می‌کند [۱۷]. در این تحقیق، منظور از ضریب همبستگی، ضریب همبستگی پیرسون و منظور از رگرسیون، رگرسیون خطی ساده است.

مدل‌های رگرسیونی ارتباط بین متغیر مستقل و متغیر وابسته را مشخص می‌کند [۱۷]. در این تحقیق، بازتابندگی سطحی باندهای مختلف سنجنده لندست به عنوان متغیر مستقل و شوری سطحی آب به عنوان متغیر وابسته انتخاب شد. با استفاده از مدل رگرسیونی ارتباط بین این دو متغیر محاسبه شد. برای استخراج بازتابندگی سطحی در موقعیت ایستگاه‌های اندازه‌گیری شوری سطحی از تصویر لندست، از ابزار (ArcMap) Extract Values to Points در نرم‌افزار ArcGIS از زیرمجموعه نرم‌افزار ArcGIS نسخه ۹/۳ استفاده شده است.

روش‌های مختلفی برای برآورد پارامترهای معادله رگرسیون وجود دارد. در این تحقیق از روش کمترین مربعات خطای (LSE^{۲۷}) استفاده می‌شود.

در این روش طوری ضرایب معادله خط تعیین می‌شود یا به عبارتی خطی به عنوان خط رگرسیون به دست می‌آید که کمترین مربعات خطای را داشته باشد. این روش از معمول‌ترین روش‌های مورداستفاده در رگرسیون است [۱۷]. برای محاسبه شوری خلیج آب سفید، یکی از شیوه‌های این روش رگرسیونی استفاده شد [۶].

شكل (۳) محدوده دهانه رودخانه ارونده، محدوده تصویر ماهواره لندست، ایستگاه‌های اندازه‌گیری گشت راپمی و تصویر رنگی شوری سطحی استخراج شده از داده‌های راپمی

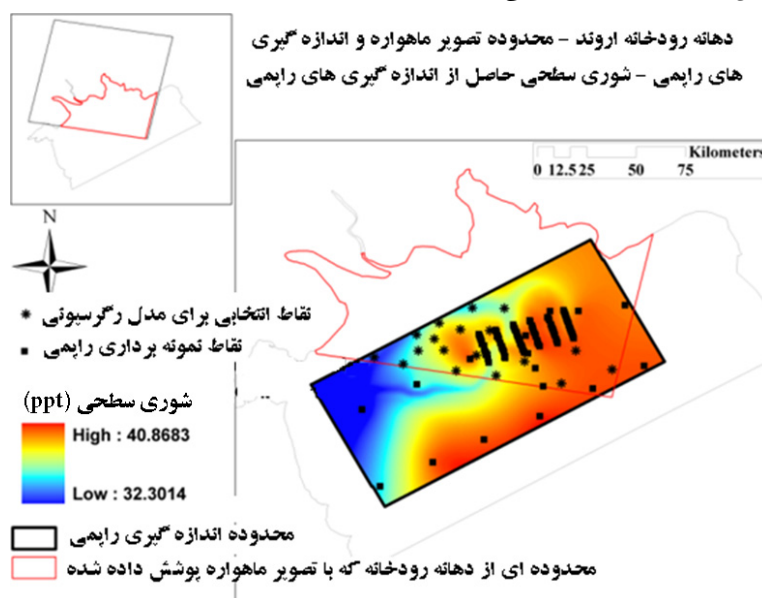
۱۹۹۲ است. در گشت راپمی^{۲۸} که بین فوریه تا ژوئن سال ۱۹۹۲ انجام شد، مشخصات آب دریا در منطقه راپمی^{۲۹} (شمال غرب خلیج فارس) طی ۱۰۰ روز با کشتی تحقیقاتی مونت‌میشل متعلق به نوآ^{۳۰} اندازه‌گیری شد. در این گشت پارامترهای مختلفی از جمله شوری ستون آب به وسیله CTD^{۳۱} اندازه‌گیری شد [۱۶]. ماهواره لندست تنها ماهواره‌ای است که دارای تصویر در سال ۱۹۹۲ بوده و این تصاویر نیز رایگان قابل دسترسی است؛ بنابراین با توجه به اینکه لندست، تنها سنجنده‌ای دارای تصویر در سال ۱۹۹۲ و هم‌زمان با گشت راپمی است، استفاده از آن علاوه بر همه مزیت‌های گفته شده برای این سنجنده، ناگزیر است. لازم به یادآوری است از سایت سازمان زمین‌شناسی آمریکا^{۳۲} برای به دست آوردن تصاویر استفاده شده است.

در این مطالعه از داده‌های شوری سطحی اندازه‌گیری شده از گشت اقیانوس‌شناسی راپمی (داده‌های شوری سطحی از اندازه‌گیری‌های CTD در ۳۰ سانتی‌متری سطحی ستون آب) سال ۱۹۹۲ استفاده شده است. اندازه‌گیری در ایستگاه‌های نزدیک دهانه ارونده در این گشت، در ۱۷ آوریل ۱۹۹۲ انجام ۲۲ شد. سنجنده لندست تی ام ۵ دو تصویر در تاریخ‌های آوریل و ۲۴ می ۱۹۹۲ از این منطقه ثبت کرده که متأسفانه این تصاویر در شرایط ابرناکی ثبت شده‌اند و اطلاعاتی از آن‌ها قابل استخراج نیست. مناسب‌ترین تصویر از لندست که از نظر زمانی به زمان اندازه‌گیری‌های میدانی نزدیک بوده و گستره مکانی این اندازه‌گیری‌ها را هم به خوبی پوشش دهد، تصویری است که در ۵ مارس ۱۹۹۲ ثبت شده است. در این تصویر هیچ نوع پوشش ابری مشاهده نمی‌شود و از این تصویر برای استخراج شوری سطحی آب در دهانه ارونده استفاده شده است.

به دلیل این که تغییرات شوری به شدت تغییرات دما نیست، نیازی به هم‌زمانی دقیق داده‌های ماهواره و داده‌های واقعی شوری نیست [۶]؛ بنابراین علی‌رغم فاصله زمانی بین اندازه‌گیری میدانی و تصویر ثبت شده، الگوی شوری سطحی در این مدت تغییرات قابل ملاحظه‌ای ندارد.

شوری سطحی و بازتابندگی باندهای ماهواره لندست انتخاب شد که علاوه بر پوشش مکانی محدوده، بیشترین تغییرات در میزان بازتابندگی باندهای لندست را نیز دارند. در نقاط ستاره شکل (۳)، شوری سطحی و میزان بازتابندگی هریک از باندهای ماهواره استخراج شد که به صورت جدولی (جدول ۱) به نرم افزار SPSS وارد شد. در این تحقیق از نسخه ۲۱ نرم افزار SPSS استفاده شد. تغییرات شوری در نقاط انتخاب شده در حدود ۳۶ ppt تا ۴۰ ppt است.

در محدوده اندازه گیری این گشت را نشان می دهد. شوری سطحی به عنوان متغیر وابسته و تصادفی و میزان بازتابندگی سطحی باندهای ماهواره به عنوان متغیرهای مستقل در نظر گرفته شد. در مطالعات مربوط به رگرسیون معمولاً مقادیر متغیر مستقل (متغیری که فکر می کنیم متغیر دیگر را کنترل می کند) طوری انتخاب می شود که دارای فواید ثابت در محدوده تغییرات واقعی خود باشند [۱۷]. بر همین اساس در محدوده داده های راپمی (تصویر رنگی در شکل ۳)، نقاطی (نقاطی که با ستاره مشخص شده اند) برای بررسی ارتباط



شکل ۳. محدوده دهانه رودخانه ارونده را نشان می دهد، در سمت چپ و بالای این شکل، سایه ماهواره یا محدوده پوشش دهنده ۲۸ تصویر ماهواره لندست در ۵ مارس ۱۹۹۲ است، مریع ها ایستگاه های اندازه گیری گشت راپمی هستند که در آنجا شوری سطحی در تاریخ ۱۷ آوریل ۱۹۹۲ اندازه گیری شد. تصویر رنگی، شوری سطحی استخراج شده از داده های راپمی را در محدوده اندازه گیری این گشت نشان می دهد.

جدول ۱. موقعیت جغرافیایی، شوری سطحی، میزان بازتابندگی باندهای لندست در نقاطی از محدوده داده های راپمی که تصویر لندست نیز پوشش می دهد، موقعیت این نقاط در شکل (۳) با ستاره مشخص شده است.

عرض جغرافیایی (°)	طول جغرافیایی (°)	شوری (ppt)	بازتابندگی باند ۱	بازتابندگی باند ۲	بازتابندگی باند ۳	بازتابندگی باند ۴	بازتابندگی باند ۵	بازتابندگی باند ۶
۲۹/۵۵	۴۸/۴۹۶	۳۴/۲۹	۱۲۹۵	۱۴۵۲	۹۷۲	۵۷۱	۲۵۰	۲۴۳
۲۹/۵۱۹	۴۸/۶۲۹	۳۶/۰۱	۱۰۹۵	۱۱۸۵	۷۵۷	۵۷۱	۲۵۰	۱۹۹
۲۹/۶۵۲	۴۸/۶۸۹	۳۶/۱۰	۱۰۹۵	۱۱۸۵	۷۹۲	۵۲۹	۲۲۱	۱۵۶

شکل نشان می دهد که رابطه ای خطی بین شوری سطحی و میزان بازتابندگی باندهای به ترتیب ۳ و ۲ مشهود است.

برای بررسی رابطه بین میزان شوری سطحی و میزان بازتابندگی باندهای مختلف لندست از مدل رگرسیونی چند

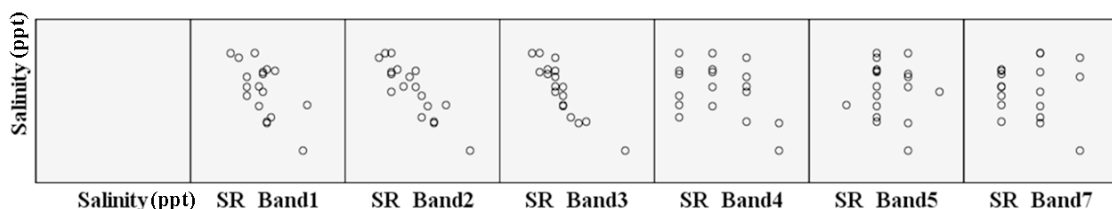
۳. نتایج

نمودار پراکندگی بین بازتابندگی سطحی باندهای تصویر لندست با شوری سطحی در شکل (۴) ارائه شده است. این

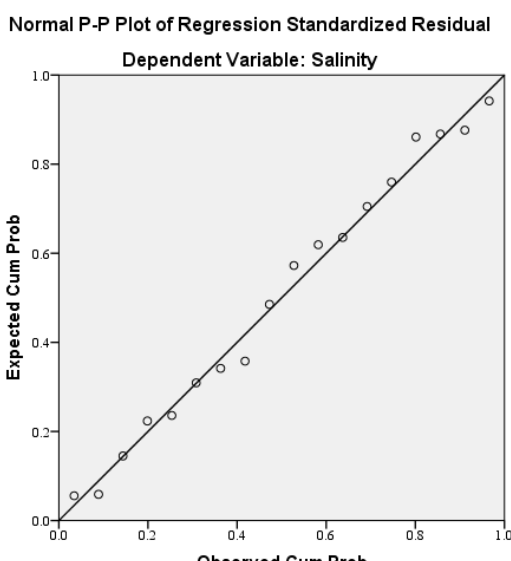
باقیماندها دارند، است. هر چه این نسبت بیشتر باشد یا به عبارتی شاخص F بیشتر باشد نشان دهنده مناسب بودن مدل است. بزرگ بودن شاخص F ملاک مشخصی دارد. اگرچه اغلب مقدار F را بر اساس توزیع جدول F می‌سنجند، اما می‌توان از مقدار P^{*9} برای این منظور استفاده کرد. هر چقدر مقدار P کوچک و به صفر نزدیک باشد، نشان دهنده مناسب بودن مدل رگرسیونی است. مقدار P یک شاخص کاوهشی از قابلیت اطمینان یک نتیجه است.

عرض از مبدأ و ضرائب باندهای ۲ و ۳ به ترتیب برابر $48/62$ و $-0/004$ و $-0/009$ به دست آمد که مقدار P برای هریک از این ضرایب نیز به صفر نزدیک است. به این ترتیب می‌توان شوری سطحی را با استفاده از بازتابندگی باندهای ۲ و ۳ لندست بر اساس رابطه زیر در محدوده گشت را پیمی استخراج کرد.

$$SSS = 48.628 - 0.004(SR_{Band2}) - 0.009(SR_{Band3}) \quad (3)$$



شکل ۴ نمودار پراکندگی بین شوری سطحی و بازتابندگی سطحی باندهای مختلف تصویر لندست



شکل ۵ نمودار مقادیر مورد انتظار توزیع نرمال در برابر مقادیر مشاهده شده

متغیره در نرم افزار SPSS استفاده شد. در این مدل شوری به عنوان متغیر وابسته و بازتابندگی باندهای ماهواره به عنوان متغیر مستقل به مدل اعمال شد. نحوه وارد کردن متغیرها به مدل رگرسیونی چندمتغیره با روش Stepwise انجام شد و مشخص شد که باندهای ۲ و ۳ لندست، برای استخراج معادله رگرسیونی، مناسب هستند. در این روش متغیرها یک به یک وارد مدل می‌شوند. در این روش ابتدا متغیری که بیشترین همبستگی را با متغیر وابسته دارد، انتخاب می‌شود. متغیر دوم که وارد مدل می‌شود، متغیری است که پس از تفکیک متغیر اول، سبب بیشترین افزایش در مقدار ضریب R² می‌شود. در این روش ورود متغیرها به صورت مدل یک به یک و تا زمانی ادامه می‌یابد که معنی داری متغیر به 0.95 ٪ (سطح خطای ۰.۵٪) برسد. ضریب تعیین این مدل رگرسیونی برابر $0/87$ است. از جدول آنالیز واریانس آنوازا مشخص شد که این مدل رگرسیونی با شاخص F برابر با $49/93$ و مقدار P نزدیک به صفر مدل مناسبی است. درواقع F نسبت میانگین تغییراتی که با مدل رگرسیونی پیش‌بینی می‌شود به میانگین تغییراتی که

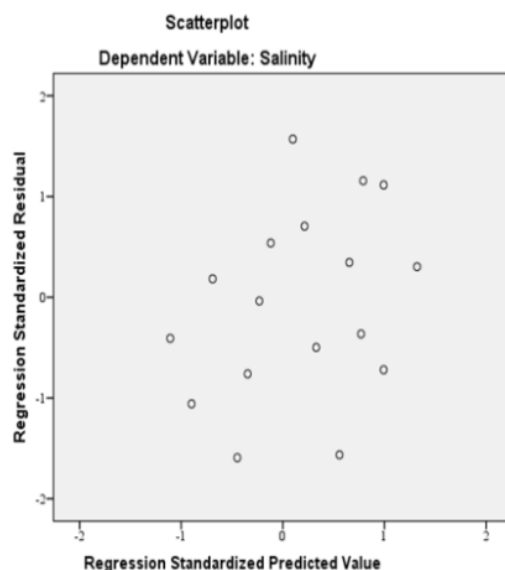
از آنجاکه محدوده تغییرات شوری سطحی که در مدل رگرسیونی استفاده شده بین حدود 36 تا 40 ppt می‌باشد، به طور طبیعی استفاده از این مدل رگرسیونی در این محدوده دقیق است. در شکل‌های ۵ و ۶ نمودارهای احتمال نرمال^{۳۰}، فرض نرمال بودن توزیع باقیماندها و نمودار پراکنش استاندارد شده مقادیر باقیماندها^{۳۱} در برابر استاندارد شده مقادیر پیش‌بینی شده^{۳۲}، تصادفی بودن و ثابت بودن واریانس باقیماندها که از ضروریات مدل رگرسیونی است را نشان می‌دهد. این نمودارها صحت مدل رگرسیونی را تأیید می‌کنند.

می‌دهد که شوری سطحی استخراج شده از تصویر ماهواره با درون‌یابی شوری سطحی از دیگر داده‌های را پمی که به مدل رگرسیونی وارد نشدند (ایستگاه‌های شاهد)، تطابق دارد. این موضوع نشان‌دهنده صحت عملکرد مدل رگرسیونی در این منطقه و برره زمانی است. به دلیل آنکه برای استخراج رابطه بین شوری سطحی و بازتابندگی باندهای لندست از داده‌های شوری در محدوده ۲۶ تا ۴۰ استفاده شده است، بنابراین به منطقه‌ای که شوری به دست آمده در این محدوده قرار دارد، می‌توان اطمینان داشت.

۴. نتیجه‌گیری

نتایج این تحقیق نشان داد که استفاده از فنون سنجش از دور، ابزار مناسبی برای برآورد شوری سطحی دریا در مناطقی با گرادیان شوری بالا (دهانه رودخانه‌ها) هستند. ارتباط خطی بین باندهای ۲ و ۳ سنجنده لندست با شوری سطحی آشکار شد. همان‌طور که اشاره شد از ضروریات این نوع از تحقیقات وجود داده‌های میدانی گسترد و مناسب است؛ بنابراین توجه به اندازه‌گیری‌های میدانی در این منطقه علی‌رغم همه موانع مانند مشکلات امنیتی، عمق کم و غیره ضروری است.

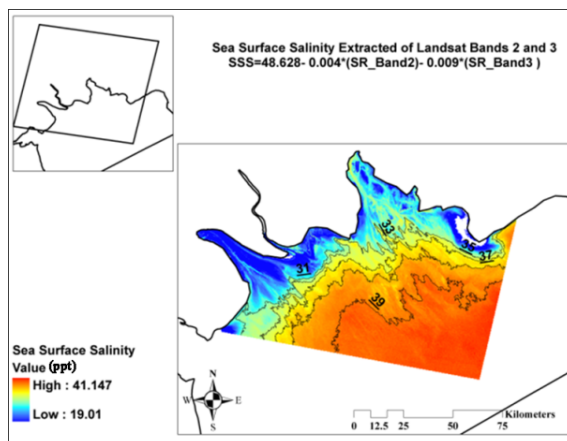
اگرچه داده‌های شوری سطحی آب در دهانه رودخانه اروند که در این تحقیق از آن استفاده شد مربوط به ماه مارس سال ۱۹۹۲ است که در گشت راپمی اندازه‌گیری شد، اما این مجموعه داده تنها داده‌ای است که گستردگی فضایی قابل قبول در این محدوده دارد. در این تحقیق با استفاده از همین داده‌ها الگوی شوری سطحی در دهانه رودخانه اروند در آن زمان به دست آمد، که نشان می‌دهد با روش ارائه شده در این تحقیق می‌توان از حداقل داده‌های موجود استفاده و وضعیت پارامترهای فیزیکی آب دریا را در گذشته به خوبی استخراج کرد. شناخت پارامترهای فیزیکی آب دریا در گذشته، موضوع بسیار مهمی در زمینه تغییرات اقلیمی و زیست محیطی است که برای مدیریت بحران‌هایی مانند خشک‌سالی‌های اخیر و کاهش دبی رودخانه اروند بسیار کاربردی است. به طور مشخص نتایج این تحقیق در بحث خشک‌سالی سال‌های اخیر، کاهش دبی رودخانه اروند و



شکل ۶. نمودار پراکنش استاندارد شده مقادیر باقیمانده‌ها در برابر استاندارد شده مقادیر پیش‌بینی شده

شکل (۷) شوری سطحی که از اعمال رابطه زیر بر باندهای ۲ و ۳ لندست به دست آمده است را نشان می‌دهد. برای اعمال این رابطه بر تک‌تک پیکسل‌های تصویر ماهواره و استخراج شوری سطحی، از ابزار Math Band در نرم‌افزار ENVI نسخه ۵/۳ استفاده شده است.

$$SSS = 48.628 - 0.004(SR_{Band2}) - 0.009(SR_{Band3}) \quad (4)$$



شکل ۷. شوری (ppt) استخراج شده از تصویر ماهواره لندست ۵ در مارس ۱۹۹۲

همان‌طور که مشخص است با دور شدن از دهانه رودخانه شوری افزایش می‌یابد و الگوی نشان داده شده مطابق با وضعیت شوری سطحی این منطقه است. این شکل نشان

- [3] Swift CT, McIntosh RE. Considerations for microwave remote sensing of ocean-surface salinity. *IEEE Transactions on Geoscience and Remote Sensing*. 1983 Oct(4):480-91.
- [4] Lagerloef GS, Swift CT, Le Vine DM. Sea surface salinity: The next remote sensing challenge. *Oceanography*. 1995 Jan 1;8(2):44-50.
- [5] Miller JL, Goodberlet MA, Zaitzeff JB. Airborne salinity mapper makes debut in coastal zone. *Eos, Transactions American Geophysical Union*. 1998 Apr 7;79(14):173-7.
- [6] Selch D. Comparing salinity models in Whitewater Bay using remote sensing [Master of Arts Thesis]. Florida Atlantic University; 2012.
- [7] Blough NV, Zafiriou OC, Bonilla J. Optical absorption spectra of waters from the Orinoco River outflow: Terrestrial input of colored organic matter to the Caribbean. *Journal of Geophysical Research: Oceans*. 1993 Feb 15;98(C2):2271-8.
- [8] Del Castillo CE, Coble PG, Morell JM, Lopez JM, Corredor JE. Analysis of the optical properties of the Orinoco River plume by absorption and fluorescence spectroscopy. *Marine Chemistry*. 1999 Jul 1;66(1-2):35-51.
- [9] Urquhart EA, Zaitchik BF, Hoffman MJ, Guikema SD, Geiger EF. Remotely sensed estimates of surface salinity in the Chesapeake Bay: a statistical approach. *Remote Sensing of Environment*. 2012 Aug 1;123:522-31.
- [10] Khorram S. Remote sensing of salinity in the San Francisco Bay Delta. *Remote Sensing of Environment*. 1982 Mar 1;12(1):15-22.
- [11] UN-ESCWA B. United Nations economic and social commission for western Asia; Bundesanstalt für Geowissenschaften und Rohstoffe. Beirut: Inventory of Shared Water Resources in Western Asia; 2013.
- [12] Azizpour J, Chegini V, Khosravi M, Einali A. Study of the physical oceanographic properties of the persian gulf, strait of hormuz and gulf of oman based on PG-GOOS CTD measurements. *Journal of the Persian Gulf*. 2014 Dec 15;5(18):37-48.
- [13] Sadrianasab M, Kämpf J. Three-dimensional flushing times of the Persian Gulf. *Geophysical research letters*. 2004 Dec 1;31(24)
- [14] Abdullah AD, Karim UF, Masih I, Popescu I, Van der Zaag P. Anthropogenic and tidal influences on salinity levels of the Shatt al-Arab River, Basra, Iraq. *International journal of river basin management*. 2016 Jul 2;14(3):357-66
- [15] Abdullah AD, Gisen JI, Zaag PV, Savenije HH, Karim UF, Masih I, Popescu I. Predicting the salt

نفوذ شوری در آن برای مقایسه شرایط کنونی با گذشته بسیار کاربردی و حائز اهمیت است.

داده‌های اندازه‌گیری شوری سطحی مورداستفاده در مدل رگرسیونی این تحقیق در محدوده ۳۶ تا ۴۰ ppt است. مقایسه شوری سطحی استخراج شده از تصویر ماهواره با داده‌های اندازه‌گیری در آن محدوده شوری (ایستگاه‌های شاهد)، نشان‌دهنده تطابق بیشتر از ۹۰ درصد بین شوری سطحی استخراج شده از تصویر ماهواره با واقعیت است.

شكل زبانه رودخانه که متأثر از دبی آن است از الگوی شوری سطحی قابل استخراج بوده است، بنابراین در ک تغیرات دبی رودخانه با سنجش شوری سطحی آب دهانه آن با استفاده از روش ارائه شده، یکی دیگر از کاربردهای قابل توجه این تحقیق است.

به طور خلاصه در ک ویژگی‌های فیزیکی این منطقه خاص در گستره وسیع با استفاده از داده‌های اندک و پراکنده، از نتایج مهم این تحقیق است.

اصلی‌ترین هدف این تحقیق ارائه و تأیید روشی برای سنجش شوری سطحی آب دهانه رودخانه ارونده است که از نظر ویژگی‌های فیزیکی، شیمیایی، شیلاتی، مدیریت منابع آب، سیاسی، جغرافیایی و غیره اهمیت فراوانی دارد. این تحقیق که با استفاده از کمترین داده‌های میدانی (با توجه به عدم وجود داده در این منطقه) انجام شد، نشان داد که می‌توان با انجام حداقل اندازه‌گیری‌های میدانی در این منطقه خاص به در ک خوبی از شرایط فیزیکی آن با استفاده از فناوری سنجش از دور دست یافت و به این ترتیب فقدان داده‌های میدانی را جبران نمود.

مراجع

- [1] Koblinsky CJ, Hildebrand P, LeVine D, Pellerano F, Chao Y, Wilson W, Yueh S, Lagerloef G. Sea surface salinity from space: Science goals and measurement approach. *Radio Science*. 2003 Aug;38(4).
- [2] Klein L, Swift C. An improved model for the dielectric constant of sea water at microwave frequencies. *IEEE Journal of Oceanic Engineering*. 1977 Jan;2(1):104-11.

26. Pearsons product moment correlation
 27. Least square errors
 28. Footprint
 29. Significant or P-value
 30 Normal probability plot
 31. ZRESID
 32. ZPRED
- water intrusion in the Shatt al-Arab estuary using an analytical approach. *Hydrology and earth system sciences.* 2016 Oct 6;20(10):4031-42.
 [16] Reynolds RM. Overview of physical oceanographic measurements taken during the Mt. Mitchell Cruise to the ROPME Sea Area. United States :Brookhaven National Lab;1993 Mar 31.Report No. BNL-49194.
 [17] Townend J. Practical statistics for environmental and biological scientists. John Wiley & Sons; 2013 Apr 30.

پی‌نوشت

1. Brightness temperature
2. Emissivity
3. Sea surface salinity
4. Sea surface temperature
5. Scanning Low-Frequency Microwave Radiometers
6. Skylab
7. Aquarius
8. Colored dissolved organic matter
9. Reflectance
10. Conservative Mixing
11. Flocculation
12. Photodegradation
13. Suspended materials.
14. Tigris
15. Euphrates
16. Taurus
17. Estuarine-deltaic
18. Digital number
19. Dependent
- 20 Explanatory
21. Regional Organization for the Protection of the Marine Environment (ROPME)
22. ROPME sea area including the persian Gulf, the Gulf of Oman and the open coastal waters of Oman in the Arabian Sea
23. National Oceanic and Atmospheric Administration
24. Conductivity, Temperature and Depth (CTD)
25. <http://earthexplorer.usgs.gov>